

(مقاله پژوهشی)

مقایسه‌ای بر دیدگاه‌های مجذّب و همزمان برای حل عددی اندرکنش حرارتی سیال و جامد*

عمراد تندیس^(۱) علی اشرفی زاده^(۲)

چکیده حل عددی مسائل اندرکنش حرارتی سیال-جامد (CHT) که شامل چندین ناحیه محاسباتی هستند به لحاظ هزینه‌های محاسباتی و پایداری حل، از جمله موضوعات چالش برانگیز به شمار می‌آید. علت عدمه این چالش‌ها را می‌توان به همبستگی بین معادلات در نواحی مختلف و همچنین همبستگی بین معادلات حاکم درون ناحیه سیال مرتبط دانست. این مقاله به بررسی مقایسه‌ای دو دیدگاه جهت اعمال همبستگی معادله انرژی در مرز مشترک بین نواحی می‌پردازد: دیدگاه مجذّب و دیدگاه همزمان. در دیدگاه اول، اعمال دقیق همبستگی به کمک استفاده از روش‌های تکراری امکان‌پذیر است، حال آنکه دیدگاه دوم، بر مبنای حل همزمان معادلات انرژی در تمام نواحی است. به عبارت دقیق‌تر، هدف اصلی در پژوهش حاضر توسعه سه حلگر CHT بر مبنای روش حجم محدود و مقایسه هزینه‌های محاسباتی آنها جهت شبیه‌سازی اندرکنش حرارتی سیال-جامد با درجات مختلف همبستگی است. هر سه حلگر مورد نظر، در شیوه اعمال همبستگی بین انرژی و سرعت در سیال، مشترک می‌باشند و تفاوت آنها در شیوه اعمال همبستگی بین معادلات انرژی در نواحی مختلف و همچنین بین انرژی و ممتد در سیال است. همچنین OpenFOAM به عنوان یک نرم‌افزار منبع باز جهت توسعه الگوریتم‌های پیشنهادی مورد استفاده قرار می‌گیرد. سپس، دقت و هزینه محاسباتی حلگرهای مذکور، به کمک شبیه‌سازی مسئله اندرکنش بین جابجایی آزاد در سیال و رسانش در دیواره عمودی مجاور در حالت‌های مختلفی از همبستگی مورد ارزیابی قرار می‌گیرد. نتایج حاصل از حل حالت‌های مختلف مسئله مورد نظر نشان می‌دهد که برخلاف آنچه در حلگرهای OpenFOAM اعمال شده، به کارگیری حلقة مجذّب جهت تضمین همبستگی انرژی-انرژی برای هر تکرار، هزینه‌های محاسباتی را بخصوص برای مسائل با همبستگی قوی تا حد زیادی کاهش می‌دهد.

واژه‌های کلیدی اندرکنش حرارتی سیال جامد، دیدگاه همزمان، دیدگاه مجذّب، همبستگی، حجم محدود، سرعت همگرایی، OpenFOAM

Comparison of Monolithic and Partitioned Approaches for the Solution of Fluid-Solid Thermal Interaction Problems

E. Tandis A. Ashrafizadeh

Abstract Numerical solution of conjugate heat transfer (CHT) problems in multi-region domains is a challenging issue in terms of efficiency and stability due to inherent coupling between governing equations in separate sub-domains. This paper aims at comparing two distinct strategies for coupling energy equations at interface of regions: partitioned and monolithic. While the former enforces strong coupling via iterative procedures, the latter suggests simultaneous solution of energy equation throughout all regions at once. More precisely, the primary objective of this study is to compare computational costs for three finite volume-based CHT solvers which share a same method for handling pressure-velocity coupling in the fluid, i.e. semi-implicit projection method, and are distinguished from the coupling strategy for energy equation at interface of interacting sub-domains. The first method applies simultaneous solution of energy equation across all regions while second and third ones use separate solver for each region with difference in handling iterative loops. The accuracy and convergence rate of three algorithms are assessed via transient solution of conjugate free convection in fluid and conduction in vertical wall. Finally, it is concluded that, in contrast to partitioned solver in OpenFOAM for CHT problems, employing a separate loop to enforce energy-energy coupling per iteration, can be much more beneficial in terms of computational costs.

Key Words Conjugate Heat Transfer, Monolithic, Partitioned, Coupling, Finite Volume, Convergence Rate, OpenFOAM.

★ تاریخ دریافت مقاله ۹۸/۱۰/۲ و تاریخ پذیرش آن ۹۹/۲/۶ می‌باشد.

(۱) نویسنده مسئول: دانشجوی دکتری، دانشکده مهندسی مکانیک، دانشگاه صنعتی خواجه نصیرالدین طوسی، تهران، ایران.

e.tandis@email.kntu.ac.ir

(۲) استاد دانشکده مهندسی مکانیک، دانشگاه صنعتی خواجه نصیرالدین طوسی، تهران، ایران

مقدمه

اندرکش حرارتی سیال و جامد که با عنوان اختصاری CHT شناخته شده است در مسائل کاربردی متنوعی شامل صنعتی، علوم زیستی و غیره نقش اساسی دارد و به همین دلیل توجه محققان زیادی را به خود جلب کرده است. مسائلی از این نوع را می‌توان جزء دسته‌ای از مسائل چند فیزیکی به شمار آورد که ویژگی بارز آنها وجود چندین ناحیه محاسباتی سیال و جامد بوده به طوری که معادلات حاکم بر آنها در مرز مشترک نواحی، همبسته می‌باشند. علاوه بر این نوع همبستگی، مسائل CHT دارای همبستگی‌های دیگری نیز هستند که ناشی از وابستگی معادلات انرژی، ممتد و پیوستگی به هم است. این موضوع، به خصوص در مسائل شامل جابجایی آزاد که عدد گراش در آنها مقادیر بالایی دارد، بر پیچیدگی این نوع از مسائل چند فیزیکی می‌افزاید.

آنالیز این دسته از مسائل چند فیزیکی می‌تواند به شیوه‌های گوناگونی صورت پذیرد. اولین و ساده‌ترین روش، استفاده از روش‌های تحلیلی است که می‌تواند در مورد پارامترهای مؤثر بر مسئله و همچنین جهت اعتبارسنجی الگوریتم‌های عددی در حل مسائل ساده مورد استفاده قرار گیرد. این روش، باینکه جواب‌های نسبتاً دقیقی در برخی مسائل ساده [1-3] ارائه می‌دهد ولی در تحلیل دقیق مسائل پیچیده در این حوزه، ناتوان است. علاوه بر روش تحلیلی، روش‌های آزمایشگاهی نیز می‌تواند به عنوان ابزاری قدرتمند در حل مسائل واقعی استفاده شوند؛ اما با وجود دقت مطلوب، روش‌های آزمایشگاهی معمولاً پرهزینه و زمان‌بر هستند. نهایتاً، روش‌های عددی به عنوان گزینه‌ای که می‌توانند بازه وسیعی از مسائل CHT را در زمانی نسبتاً کم و با دقتی معقول حل نمایند، در چند دهه پیشین، موضوع بسیاری از تحقیقات بوده است [4-6]. الگوریتم‌های عددی در حوزه مسائل CHT - و

به طور کلی مسائل چند فیزیکی - را، از نظر چگونگی اعمال همبستگی بین معادلات، می‌توان به دو دسته عمده تقسیم‌بندی کرد: روش‌های مجزا (Partitioned) و روش‌های همزمان (Monolithic). ویژگی مثبت روش‌های مجزا را می‌توان به امکان استفاده از حلگرهای موجود و حتی تجاری دانست به گونه‌ای که ترکیب مناسب این حلگرهای به کمک کدهای واسط (Interface)، می‌تواند شیوه‌های گوناگونی از این روش‌ها را با بازده‌های محاسباتی متفاوت ارائه دهد. با وجود انعطاف‌پذیری مناسب روش‌های همزمان بازده روش‌ها در مقایسه با روش‌های همزمان پایین‌تری دارند. به عبارت دیگر، حل مسائلی که همبستگی معادلات به هم از نوع قوی است روش‌های همزمان می‌توانند در زمانی کمتر و با پایداری بیشتری به حل مسئله پردازنند. در الگوریتم‌های مجزا، شیوه مشترک، به این صورت است که حل‌های مرتبط با نواحی سیال و جامد به صورت متوالی فرآخوانده می‌شوند [10-7] و اعمال دقیق شرایط مرزی در مرز مشترک به کمک حلقه‌های predictor-corrector صورت می‌پذیرد و این مسلمانه هزینه‌های محاسباتی بالایی را به حلگرهای CHT تحمیل می‌کند. برخلاف روش‌های مجزا، در الگوریتم‌های همزمان، معادلاتی که اساس فیزیکی و متغیرهای وابسته مشابهی در نواحی سیال و جامد دارند - در اینجا معادله انرژی - در تمام فضای محاسباتی به صورت همزمان حل می‌شوند و به این ترتیب سرعت همگرایی بالا می‌رود [11, 12].

اعمال مناسب شرایط مرزی در مرز مشترک - که آن را شرط مرزی همبستگی می‌نامیم - یکی از پارامترهای مهم در دقت و هزینه‌های محاسباتی حلگرهای CHT و بخصوص در حالت حل گذرا است. این مسئله، موضوع بسیاری از مطالعات صورت گرفته در زمینه حل عددی مسائل اندرکش گرمایی بین سیال و جامد بوده است [13-16]. هدف این مطالعات

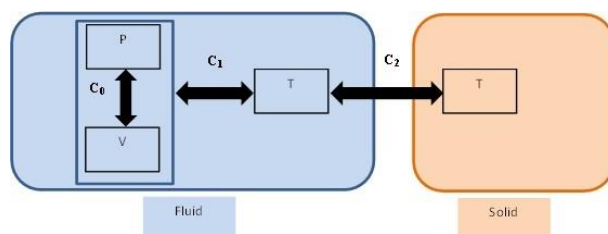
(۱) این همبستگی ها را به صورت شماتیک نشان می دهد.

در مسائل سیالاتی فارغ از نقش معادله انرژی، همبستگی بین سرعت و فشار یک خاصیت ذاتی در معادلات ممتوом و پیوستگی است و در اینجا آن را همبستگی نوع صفر (C_0) می نامیم. مطالعات گسترده ای در زمینه نقش این نوع همبستگی در معادلات حاکم بر سیال، شیوه های گوناگون اعمال آن در الگوریتم های مختلف و نقش آن در کارایی الگوریتم ها صورت گرفته است [17-19]. لذا، این نوع همبستگی در این مقاله کمتر مورد توجه قرار گرفته و یک روش مجزا و معمول در سایر حلگرهای، جهت اعمال آن استفاده خواهد شد؛ اما با توجه به هزینه محاسباتی آن، نقش آن در کارایی الگوریتم های مورد نظر در این تحقیق، شرح داده خواهد شد.

بر اساس مطالعات پیشین، دو نوع همبستگی دیگر، نقش مؤثری در پایداری و بازده محاسباتی الگوریتم های عددی دارند: همبستگی بین معادلات ممتووم و انرژی در نواحی شامل سیال که آن را همبستگی نوع اول می نامیم و همبستگی بین معادلات انرژی در نواحی سیال و جامد که مرز مشترک دارند که از آن با عنوان همبستگی نوع دوم یاد می کنیم. این دو نوع همبستگی در شکل (۱)، به ترتیب با C_1 و C_2 نشان داده شده اند.

عملتاً ارائه شیوه های اعمال شرط مرزی همبستگی به گونه ای بوده است که ۱) دقت بالا، ۲) پایداری حل، ۳) هزینه محاسباتی پایین و ۴) پایستاری را نتیجه دهد. به عنوان مثال، شرط مرزی از نوع دیریشله-رابین که مقادیر ضرایب آن موضوع بسیاری از تحقیقات پیشین [15] بوده است به صورت مکرر برای اعمال شرط مرزی همبستگی در این گونه مسائل و با هدف بهینه سازی دقت و پایداری الگوریتم های مجزا پیشنهاد گردیده است. بر اساس این روش ها، شرط مرزی پیشنهادی در مرز مشترک سیال و جامد، روی حلگر سیال از نوع شرط دما ثابت و برای حلگر جامد از نوع شرط مرزی شار حرارتی است. علاوه بر این، شروط مرزی دیگری برای مرز مشترک ارائه شده است. از میان آنها می توان به شرط مرزی رابین-راپین [16] اشاره کرد که نتایج ارائه شده حاصل از اعمال آن، قابل قبول گزارش شده است.

از آنجایی که در مسائل CHT، معادلات سیال شامل پیوستگی، ممتووم و انرژی و همچنین معادله انرژی در جامد ایفای نقش می کنند، به منظور طراحی روش های عددی با کارایی بهتر، نیاز است تا به طور دقیق تر، همبستگی بین معادلات موردن مطالعه قرار گیرد. به همین منظور، در این تحقیق به بررسی دقیق تر همبستگی بین متغیر های مجھول شامل فشار، سرعت و دما در سیال و همچنین دما در جامد می پردازیم. شکل



شکل «۱»: نمایش همبستگی های مختلف در یک مسئله CHT

حلگر اول و سوم، برای حل گذرا به کار می روند. همچنین، در حلگرهای سوم و چهارم، معادلات انرژی در سیال و جامد، به صورت هم زمان حل می گردد و در حلگرهای اول و دوم الگوریتم مجزا به کار گرفته شده است. علاوه بر این، حلگرهای سوم و چهارم، فقط قادر به حل مسائلی شامل یک ناحیه سیال و یک ناحیه جامد هستند.

مقاله حاضر، با نگاهی عمیق‌تر، به تأثیر شیوه اعمال همبستگی بین معادلات در کارایی حلگرهای رایج در مسائل CHT می‌پردازد. به طور دقیق‌تر، در این تحقیق، توسعه و مقایسه سه نوع حلگر در زمینه حل مسائل CHT به روش‌های هم زمان و مجزاً شرح داده می‌شود به طوری که دو تا از الگوریتم‌ها از نوع مجزاً و یکی از آنها از نوع حلگر هم زمان است. ویژگی مشترک بین سه حلگر مورد نظر این است که شیوه گسترش‌سازی معادلات در همگی، بر مبنای روش‌های حجم محدود است و همچنین به منظور اعمال همبستگی فشار- سرعت در سیال (C_0)، از الگوریتمی Semi-Implicit Projection Method از خانواده (SIPM) به نام الگوریتم PISO بهره گرفته شده است. تفاوت الگوریتم‌های مورد نظر، در نحوه اعمال همبستگی‌های نوع اول و دوم است. روش هم زمان با یک حلقه درونی جهت اعمال همبستگی C_0 ، به حل جریان درون سیال می‌پردازد و پس از حل سیال، به حل هم زمان معادله انرژی در تمامی نواحی سیال و جامد می‌پردازد (اعمال قوی C_2). تمام این روند حل جریان سیال و معادلات انرژی- برای هر گام زمانی درون یک حلقه تکرار قرار دارد به طوری که شرط خروج از حلقه، اراضی دقیق معادلات ممتومن، پیوستگی، انرژی و همچنین اراضی همبستگی C_1 تا مقدار مطلوب است. در روش مجزاً، بعد از اعمال همبستگی C_0 در سیال به شیوه مذکور، دو دیدگاه در مورد نحوه اعمال دو همبستگی دیگر بررسی می‌شود: اعمال همبستگی‌های C_1 و C_2 در یک حلقه مشترک

سؤال منطقی که در این خصوص مهم به نظر می‌رسد ترتیب نحوه اعمال همبستگی در ارتباط با هم است. به عنوان مثال در دیدگاه کاملاً مجزاً، آیا بهتر است در الگوریتم عددی، ابتدا معادلات سیال - شامل پیوستگی، ممتومن و انرژی - را تا دقّت بالایی اراضی کنیم (تضمنین C_0 و C_1) سپس به حل معادله انرژی در جامد بپردازیم و در نهایت همبستگی بین معادله انرژی در جامد و سیال را با یک حلقه بیرونی تضمنی کنیم (تضمنین C_2)؟ یا اینکه در ابتدا فقط معادلات پیوستگی و ممتومن را با دقّت بالا اراضی کنیم (تضمنین C_0) و سپس معادلات انرژی سیال و جامد را در یک حلقه دیگر تضمنی نماییم (تضمنین C_2) و در نهایت همبستگی بین دو دسته معادله حاصل - معادلات انرژی از یک طرف و پیوستگی و ممتومن از طرف دیگر - را از طریق یک حلقه بیرونی اعمال نماییم (تضمنین C_1)؟

اهمیّت سؤال مذکور با نگاهی بر حلگرهای موجود در نرم افزار منبع باز و رایج OpenFOAM [20] در مسائل CHT بیشتر مشخص می‌شود [21,22]. در نسخه extent4.0 از این نرم افزار، چهار حلگر در این خصوص وجود دارد و هر دو استراتژی شرح داده شده در پاراگراف قبل، در آنها قابل مشاهده است. در chtMultiRegionFoam و chtMultiRegionSimpleFoam، در هر تکرار از یک حلقه بیرونی، همبستگی C_0 به صورت قوی اعمال شده و دو همبستگی دیگر به واسطه همان حلقه بیرونی مشترک تضمنی می‌شوند. در حلگر سوم، conjugateHeatFoam در هر گام زمانی، C_0 و C_2 قویاً اعمال شده ولی C_1 به صورت ضعیف اعمال شده است. در حلگر چهارم، chtMultiRegionFoam، اعمال شده و یک حلقه تکرار بیرونی جهت تضمنین C_1 اعمال شده و یک حلقه تکرار بیرونی جهت تضمنین C_2 قویاً چهارم فقط جهت حل دائم طراحی شده‌اند حال آنکه

رسانندگی و ρ چگالی می باشند. همچنین، معادله انرژی وابسته به زمان برای یک ناحیه جامد را می توان به صورت زیر نوشت:

$$\frac{\partial T_s}{\partial t} = \frac{1}{(\rho C_p)_s} \nabla \cdot (k_s \nabla T_s) \quad (4)$$

که در آن اندیس s جهت تمایز کمیت های جامداتی از سیالاتی استفاده شده است. به منظور تکمیل معادلات ریاضی، شرط مرزی های مناسب برای بخش سیال و جامد نیاز است. در اینجا توجه بیشتر، معطوف به شرط مرزی همبستگی در مرز مشترک سیال و جامد است. این شرط مرزی بر اساس پیوستگی دما و همچنین پایستاری انرژی روی سطح کنترلی فرضی روی مرز مشترک بوده و به صورت زیر بیان می شود:

$$T(\Gamma_{f,s}, t) = T_s(\Gamma_{f,s}, t) \quad (5)$$

$$n \cdot (k \nabla T) = n \cdot (k_s \nabla T_s) \quad (6)$$

درجه همبستگی معادلات، به مانند بسیاری از خصوصیات پدیده های فیزیکی، به کمک اعداد بدون بعد قابل بیان است. به منظور استخراج این اعداد، با استفاده از عملیات جبری، معادلات به صورت بدون بعد زیر بازنویسی می شوند:

$$\frac{\partial \tilde{u}}{\partial \tilde{t}} + \tilde{u} \cdot \nabla \tilde{u} = -\nabla \tilde{p} + \frac{1}{Re^2} \nabla^2 \tilde{u} - \frac{Gr}{Re^2} \tilde{T} \quad (7)$$

$$\frac{\partial \tilde{T}}{\partial \tilde{t}} + (\tilde{u} \cdot \nabla) \tilde{T} = \frac{1}{RePr} \nabla^2 \tilde{T} \quad (8)$$

بر اساس معادلات (7 و 8)، میزان همبستگی بین معادلات ممتوم و انرژی به اعداد گراش f می باشد $f = \frac{g\beta(T_H - T_L)L^3}{v^2}$ ، پرانتل $Pr = \frac{v}{\alpha}$ ، و رینولز $Re = \frac{UL}{v}$ بستگی دارد به طوری که برای اعداد گراش بالا، درجه همبستگی نوع اول (C_1) بیشتر است. توجه

بیرونی یا استفاده از یک حلقة تکرار دیگر (داخلی) جهت تضمین C_2 در هر تکرار از حلقة بیرونی. در نتیجه، دو الگوریتم برای حلگر مجزا، یکی بر اساس حلقة جداگانه و دیگری بر اساس حلقة واحد، در این تحقیق ارائه گردیده است. در نهایت عملکرد سه الگوریتم مورد نظر به کمک حل مسئله اندرکنش حرارتی بین دیوار عمودی و جریان جابه جایی آزاد در سیال مجاور، مورد ارزیابی قرار می گیرد. به همین منظور، با تغییر خواص ترموفیزیکی سیال و جامد، شرایط همبستگی مختلفی برای مسئله اعمال شده، در ابتدا به اعتبار سنجی هر سه حلگر پرداخته و سپس توانایی آنها به لحاظ هزینه محاسباتی به کمک بررسی سرعت همگرای در حالت های مختلف مطالعه می شود.

معادلات ریاضی

در این بخش فرمولاسیون ریاضی یک مسئله CHT شامل معادلات حاکم و همچنین شرط مرزی سازگاری (شرط مرزی همبستگی) بین نواحی سیال و جامد ارائه می شود. معادلات گذرای مربوط به جریان سیال بوزینسک (Boussinesq)، شامل پیوستگی، ممتوم و انرژی به صورت زیر است:

$$\nabla \cdot \mathbf{u} = 0 \quad (1)$$

$$\frac{\partial \mathbf{u}}{\partial t} + \mathbf{u} \cdot \nabla \mathbf{u} = -\nabla p + \nu \nabla^2 \mathbf{u} - \mathbf{g} \beta(T - T_{ref}) \quad (2)$$

$$\frac{\partial T}{\partial t} + (\mathbf{u} \cdot \nabla) T = \frac{1}{\rho C_p} \nabla \cdot (k \nabla T) \quad (3)$$

که \mathbf{u} ، p و T به ترتیب سرعت، فشار و دمای سیال هستند و باید از طریق فرایند حل محاسبه گردند. متغیر \mathbf{g} بردار شتاب گرانشی و سایر پارامترها، نشان دهنده خواص سیال شامل ۷ ویستکوزیته سینماتیکی، β ضریب انبساط حرارتی، C_p ظرفیت گرمایی ویژه، k

معادله ممتوом مربوط به این حجم کنترل است. با جایگزینی معادله (۱۰) در (۱)، معادله حاکم بر فشار به صورت زیر حاصل می شود:

$$\nabla \cdot \left(\frac{1}{a_p} \nabla p \right) - \nabla \cdot \left[\frac{H(u)}{a_p} \right] = 0 \quad (11)$$

پس از حل معادله فشار، شار جرمی ورودی روی سطوح اطراف حجم کنترل، به کمک معادله زیر به روزرسانی می شود:

$$F = \rho s_f \cdot u = \rho s \cdot \left[\left(\frac{H(u)}{a_p} \right)_f - \left(\frac{1}{a_p} \right)_f (\nabla p)_f \right] \quad (12)$$

همان طور که ذکر شد وجه تمایز الگوریتم ها، در چگونگی اعمال پیوستگی دما و پایستاری شار گرمایی در مرز مشترک - روابط (۵) و (۶) و همچنین همبستگی بین معادلات ممتووم و انرژی در نواحی حاوی سیال است. در خصوص همبستگی در مرز مشترک برای الگوریتم های مجزا، نوع مناسب شرط مرزی برای نواحی سیال و جامد روی پایداری فرایند حل بسیار تأثیرگذار خواهد بود. شیوه های مختلفی از نحوه اعمال این شرط مرزی با هدف مطالعه پایداری حل و بهترین نرخ همگرایی در مرجع [15] مقایسه شده اند. Henshaw و همکاران [14] نشان دادند در حالتی که خواص ترموفیزیکی ماده های مجاور به هم نزدیک باشد شرط مرزی از نوع رابین-رابین می تواند نرخ همگرایی بالایی را نتیجه دهد. در این تحقیق، از این نوع شرط مرزی که در کتابخانه نرم افزار OpenFOAM نیز موجود است استفاده می شود. نحوه اعمال این شرط مرزی به این صورت است که برای مرزهای سیال و جامد، ترکیبی از شرط مرزی دیریشله (دماه ثابت) و نیومن (گرادیان صفر) با تأثیر وزنی به ترتیب (۱) و (۲) ۱-

شود که در اینجا، L طول مشخصه مسئله، U سرعت مشخصه جریان و α ضریب پخش گرمایی است.

به منظور کمینه سازی همبستگی نوع دوم که ناشی از پیوستگی دما و پایستاری شار گرمایی در مرز مشترک است، از کمیت بدون بعد σ استفاده می گردد:

$$\sigma = \frac{k_f / \sqrt{\alpha_f}}{k_s / \sqrt{\alpha_s}} \quad (9)$$

هر چه σ به سمت عدد ۱ نزدیک شود همبستگی معادلات انرژی در مرز سیال و جامد قوی تر خواهد بود [12].

روش عددی

در این بخش، جزیيات مربوط به الگوریتم عددی سه حلگر CHT که بر اساس حجم محدود عمل می کنند بحث می شود. در واقع، هر سه روش به جستجوی مقادیری از فشار، سرعت و دما هستند به گونه ای که معادلات پایستاری شامل بقای جرم، ممتووم و انرژی - درون حجم کنترل ها و همچنین سطوح کنترل مرزی و به خصوص در مرزهای مشترک ارضا شوند. الگوریتم PISO [۲۳] به عنوان روشی برای اعمال همبستگی بین سرعت و فشار در جریان سیال (C_0) برای هر سه حلگر مورد استفاده قرار می گیرد.

فرایند حل در این حلگرها، با گستره سازی معادله ممتووم برای جریان سیال به صورت زیر آغاز می شود:

$$u_p = \frac{H(u)}{a_p} - \frac{1}{a_p} \nabla p \quad (10)$$

که در آن a_p نشان دهنده ضریب سرعت در حجم کنترل P - واقع در قطر اصلی ماتریس ضرایب - و عملگر $H(u)$ در واقع معرف مجموع ترم های منبع شامل نیروی شناوری و سرعت حجم کنترل های اطراف در

$$k_{int} = \frac{k_f k_s}{\frac{\Delta_f}{\Delta} k_s + \frac{\Delta_s}{\Delta} k_f} \quad (15)$$

تا اینجا، به نحوه گسته سازی و حل معادلات به صورت جداگانه پرداختیم. در خصوص الگوریتم کلی و ترتیب اعمال همبستگی‌ها، همبستگی نوع اول برای حلگر هم‌زمان، از طریق یک حلقه تکرار بیرونی تضمین می‌گردد. برای اعمال این همبستگی در دیدگاه مجرا، دو روش وجود دارد: استفاده از حلقه مشترک برای اعمال همبستگی نوع اول و دوم یا استفاده از دو حلقه جداگانه. شکل (۳) سه الگوریتم مورد نظر را به کمک فلوچارت نمایش می‌دهد.

همان‌طور که در فلوچارت‌های شکل (۳) دیده می‌شود، الگوریتم شکل (الف) که به اختصار آن را Semi Implicit Projection (مخفف SIPM-SP مخفف Method- Separate Loop) می‌نامیم، از یک حلقه بیرونی برای تضمین همبستگی نوع اول و یک حلقه داخلی برای تضمین نوع دوم استفاده می‌شود. حال آنکه Semi Implicit الگوریتم (ب) SIPM-IP (مخفف SIPM-M) که شناخته می‌شود، و با عنوان SIPM-M (مخفف Projection Method- Integrated Loop) نام دارد، فقط یک حلقه جهت اعمال همبستگی‌های C_1 و C_2 به کار گرفته است. در نهایت الگوریتم (پ) که حلگر هم‌زمان Semi Implicit (مخفف Projection Method- Monolithic) شناخته می‌شود، از یک حلقه تکرار برای تضمین همبستگی نوع اول استفاده می‌کند و همبستگی نوع دوم، از طریق حل هم‌زمان معادلات انرژی تضمین می‌گردد.

در نظر گرفته می‌شود به طوری که ضریب وزنی ω از رابطه زیر محاسبه می‌گردد:

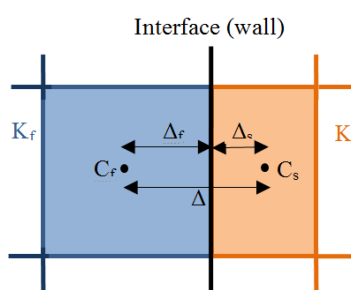
$$\omega_{own} = \frac{\frac{k_{nei}}{\Delta_{nei}}}{\frac{k_{nei}}{\Delta_f} + \frac{k_{own}}{\Delta_s}} \quad (13)$$

که در آن زیرنویس own و nei به نواحی دو طرف مرز مشترک و Δ ، مطابق شکل (۲)، به فاصله عمودی بین مرکز حجم کتلرل‌های مجاور در دو ناحیه اشاره می‌کند.

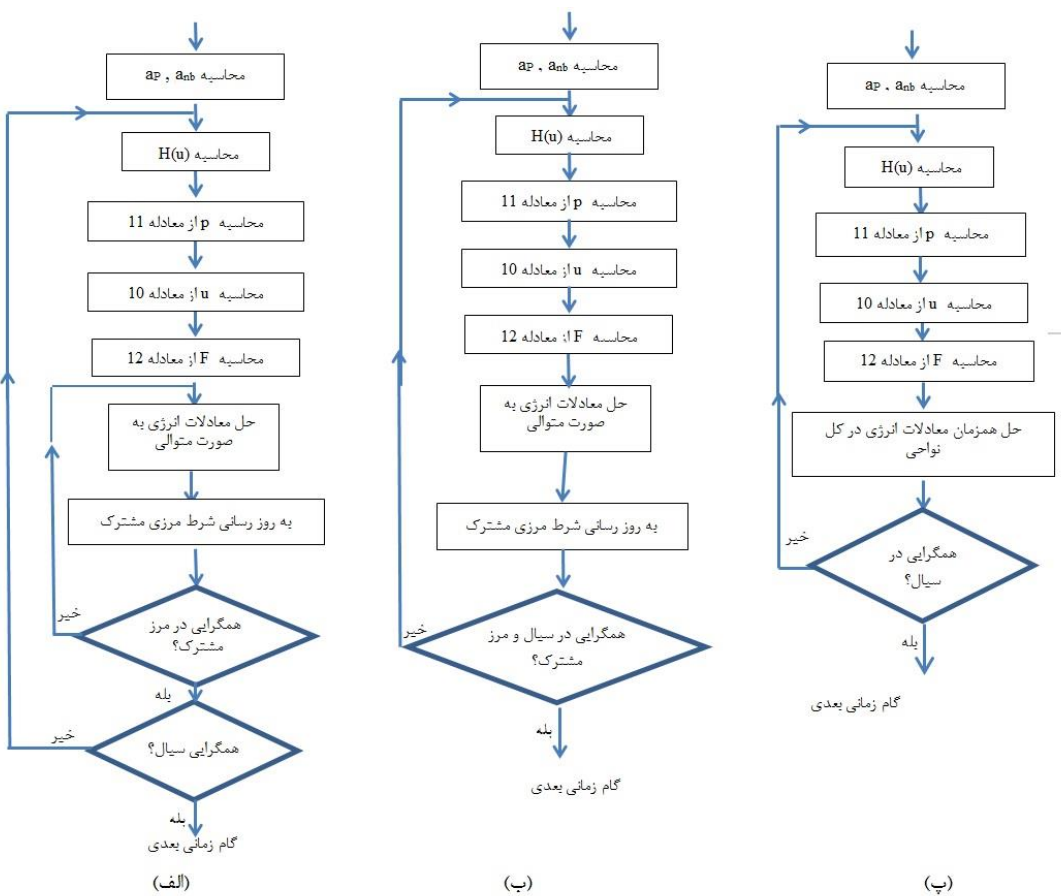
برای الگوریتم هم‌زمان، حل هم‌زمان معادله انرژی در تمام فضای محاسباتی نیازمند میانیابی مناسبی برای خاصیت رسانندگی، k در مرز مشترک است به گونه‌ای که اعمال دقیق پایستاری انرژی در این مرز تضمین شود. در غیاب ترم تشعشع در مرز مشترک، شکل گسته پایستاری انرژی به صورت زیر قابل بیان است:

$$k_{nei} \frac{(T_{nei} - T_w)}{\Delta_{nei}} = k_{own} \frac{(T_w - T_{own})}{\Delta_{own}} \quad (14)$$

به منظور محاسبه رسانندگی در مرز مشترک، k_{int} به گونه‌ای که معادلات (۵) و (۶) به طور مطلوبی ارضا شوند، دو سمت معادله (۱۴) باید با مقدار $\frac{(T_{nei} - T_{own})}{\Delta}$ برابر باشند. با انجام محاسبات جبری ساده در نهایت به رابطه زیر برای رسانندگی روی مرز می‌رسیم:



شکل «۲»: وضعیت حجم کتلرل در نواحی سیال (f) و جامد (s)



شکل «۳»: فلوچارت سه حلگر CHT (الف) SIPM-SP پ (ب) SIPM-IP پ (ب) SIPM-M

یک حلگر مجزاً با نام `chtMultiRegionFoam` با شیوه حلقه مشترک (فلوچارت شکل ۳-ب) است که برای چندین ناحیه جامد و سیال طراحی شده است. به منظور اعمال الگوریتم حلگر مجزاً با حلقه جداگانه (فلوچارت شکل ۳-الف)، در حلگر استاندارد اخیر، تغییراتی داده می‌شود.

شبیه‌سازی و نتایج

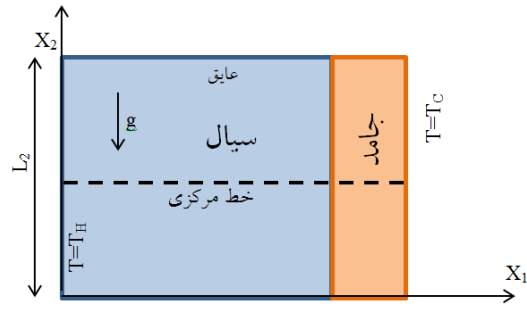
در این بخش، به منظور اعتبار سنجی، نتایج حل عددی برای مسئله دو بعدی اندرکنش حرارتی بین جریان جابجایی آزاد در سیال و هدایت در دیوار عمودی

در این مطالعه، نرم افزار منبع باز OpenFOAM نسخه extend4.0 جهت اعمال الگوریتم های مورد نظر روی شبکه های سه بعدی غیر سازمان یافته به کار گرفته شده است. شایان یادآوری است که حلگر همزمان با عنوان `conjugateHeatFoam` در نرم افزار موجود است که محدودیت تنها دو ناحیه (یک ناحیه سیال و یک ناحیه جامد) در آن وجود دارد. همچنین، همان طور که در مقدمه اشاره شد این حلگر استاندارد، همبستگی C_1 را تضمین نمی کند. در اینجا، ما به توسعه این الگوریتم به منظور اعمال قوی C_1 و همچنین امکان به کارگیری آن در حالتهای چند ناحیه ای می پردازیم. حلگر استاندارد دیگر مربوط به مسائل CHT در این نرم افزار،

در تحقیق حاضر، سه حلگر SIPM-IP و SIPM-SP و SIPM-M برای حل مسئله مطرح شده استفاده می شوند تا بدین ترتیب دقیق نتایج الگوریتم های مذکور با نتایج موجود در مرجع [12] مقایسه و اعتبارسنجی گردد. جدول (۱)، کمیت های بدون بعد برای خواص ذکر شده در این مرجع را نشان می دهد: در این مطالعه، مقادیر هندسی شامل طول و عرض و ضخامت دیواره به صورت $L_1 = L_2$ و $L_s = 0.2 L_1$ در نظر گرفته می شود. سیال در شروع حل در حالت سکون با فشار و دمای صفر فرض می گردد. در لحظه $t=0$ ، دمای دیواره سمت راست در جامد نگهان به $T_h = 1$ افزایش می بارد و دمای دیواره سمت چپ سیال در دمای صفر ($T_c = 0$) ثابت نگه داشته می شود. بقیه دیواره ها به جز مرز مشترک سیال-جامد در شرایط عایق قرار داده می شود و شرط عدم لغزش بر روی چهار دیوار اطراف سیال اعمال می گردد. در حلگرهای مجرا، شرط همگرایی برای خروج از حلقه بیرونی به صورت $\frac{\max(r^n)}{\max(r^0)} < 10^{-6}$ در نظر گرفته می شود که در آن n نشان دهنده باقیمانده روی جامد تابعی از دما باشد. در تکرار n ام است. شکل ۵، خطوط جريان و توزيع دما در نواحی سیال و جامد را در زمان $t=0.07$ sec نمایش می دهد.

شکل (۶)، پروفیل دمای حاصل از سه حلگر و روی خط افقی مرکزی را با نتایج ارائه شده در مرجع [12] مقایسه کرده است. همان طور که از نمودارهای این شکل مشهود است هر سه حلگر در درجات مختلف از همبستگی، نتایجی تقریباً منطبق بر نتایج موجود در مرجع مورد نظر را ارائه می دهند.

مجاور که شماتیک آن در شکل (۴) نمایش داده شده است، ارائه می شود.

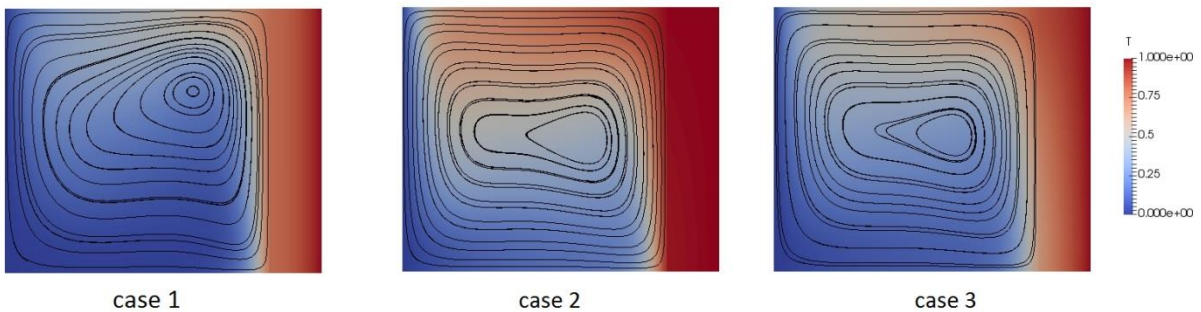


شکل «۴»: شماتیک مسئله جابجاگی آزاد سیال در کنار دیوار عمودی

این مسئله، به دلیل قابلیت بررسی رفتار حلگر در درجات مختلف همبستگی های نوع اول و دوم، در تحقیقات پیشین به صورت مکرر شبیه سازی شده است. در میان آنها، کاظمی کامیاب و همکاران [24] از یک حلگر مجرا با همبستگی ضعیف جهت حل این مسئله استفاده کردند تا عملکرد مؤثر حلگر پیشنهادی شان را با فرضی کلی اثبات کنند: تمامی خواص برای سیال و جامد ثابت هستند به غیر از رسانندگی گرمایی که می توانند تابعی از دما باشد. در تحقیق دیگری [25]، آنها عملکرد یک حلگر مجرا با همبستگی قوی را به کمک این مسئله در درجات مختلف همبستگی- با تغییر اعداد بدون بعد ۵ و گراف- مورد مطالعه قرار دادند. همچنین Pan و همکاران [12]، به اعتبارسنجی و مطالعه کارایی الگوریتم هم زمان پیشنهادی در حالت درجات مختلف همبستگی در این مسئله پرداختند.

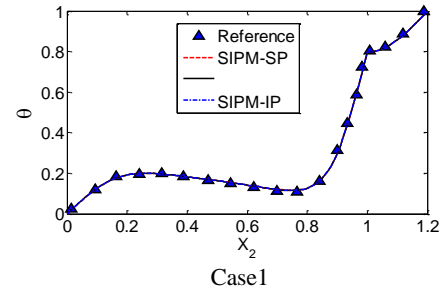
جدول «۱»: جزییات سه حالت مختلف برای مسئله جابجاگی آزاد در کنار دیوار عمودی

	جنس سیال	جنس جامد	جنس جامد	Pr	ks/kf	Gr	σ
حالت ۱	هوای	فلز	فلز	0.7	1600	1.43×10^5	3.95×10^{-4}
حالت ۲	آب	فلز	فلز	7	80	104	0.12
حالت ۳	آب	بتن	بتن	7	2.7	104	0.93



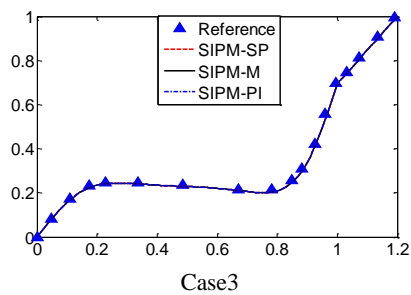
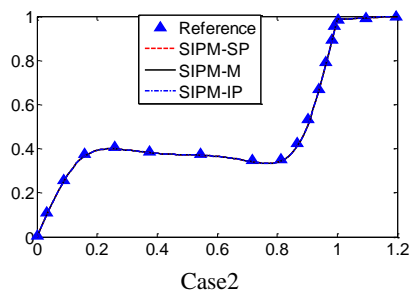
شکل «۵»: کانتور دما و خطوط جریان برای حالت های ۱ تا ۳

پیشنهاد شده است به گونه ای که چهار حالت شامل ترکیب های مختلف قوی و ضعیف برای دو نوع همبستگی C_2-C_1 (قوی - قوی، قوی - ضعیف؛ ضعیف - قوی، و ضعیف - ضعیف) ایجاد گردد. جدول (۲)، جزیات مربوط به این چهار حالت را ارائه داده است.

جدول «۲»: مشخصات چهار حالت برای جابجایی آزاد
مجاور دیوار عمودی

	Pr	ks/kf	Gr	σ
Case A	0.7	1.6	1.43×10^5	0.93
Case B	0.7	1.6	104	0.93
Case C	0.7	1600	1.43×10^5	4×10^{-4}
Case D	0.7	1600	104	4×10^{-4}

هزینه های محاسباتی مربوط به سه الگوریتم پیشنهادی برای حالت A تا D در شکل (۷) مقایسه شده است. همان طور که در نمودارها پیداست الگوریتم SIPM-IP همواره کنترین نرخ همگرایی را داشته است و این بخصوص برای حالت های A و B که همبستگی قوی بین معادلات انرژی در سیال و جامد وجود دارد، کاملاً مشهود است. برای حالت B، استفاده از حلقة جداگانه سرعت همگرایی را تا حدود ۵ برابر افزایش داده است. همچنین، برای تمام چهار حالت، الگوریتم SIPM-M سریع ترین نرخ همگرایی را نسبت به بقیه الگوریتم ها نتیجه داده است. با این وجود، نمودار همگرایی برای حالت B نشان می دهد که برای حالتی



شکل «۶»: مقایسه نتایج سه حلگر برای پروفیل دما روی خط افقی گذرنده از مرکز با نتایج مرجع [12]

به منظور مقایسه هزینه محاسباتی سه حلگر مورد نظر، خواص جدیدی برای سیال و جامد در این مقاله

توسعه داده می شود تا عملکرد الگوریتم ها برای حالات با نواحی بیشتر نیز مورد مطالعه و مقایسه قرار گیرد. خواص سیال و جامد در نواحی مختلف مطابق با جدول (۲) برای چهار حالت در نظر گرفته می شود.

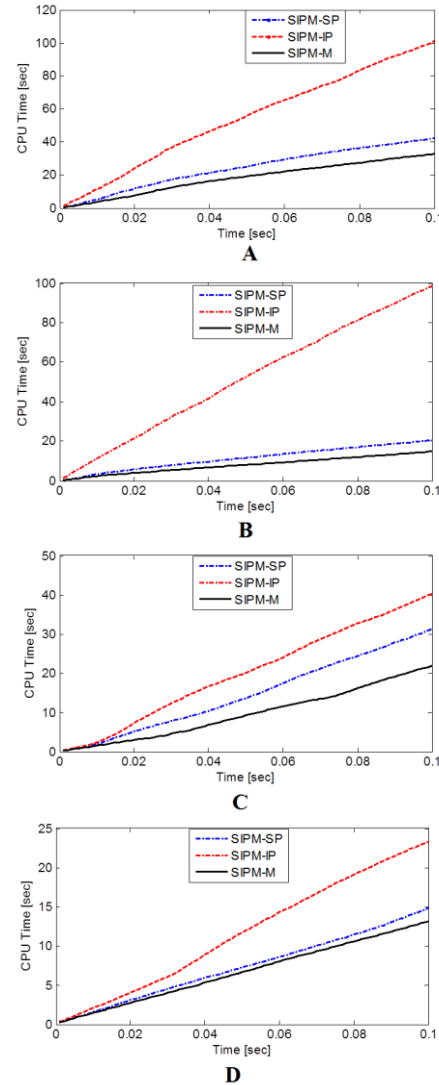
شرایط اولیه و مرزی برای این مسئله، همانند مسئله قبلی است با این تفاوت که در مسئله حاضر، دو ناحیه برای سیال و دو ناحیه برای جامد وجود دارد. مسئله حاضر، این امکان را فراهم می آورد تا تأثیر افزایش تعداد نواحی بر احتمال مشاهده تفاوت معنی داری در هزینه های محاسباتی بررسی شود. به همین منظور، سه الگوریتم مورد بحث برای حالات A تا D در این مسئله به کار گرفته می شوند. شکل (۹)

نتایج کیفی شامل توزیع سرعت و خطوط جریان حاصل از شبیه سازی به کمک الگوریتم هم زمان برای حالت A را نمایش می دهد.

به منظور مقایسه دقیق تایید حاصل از سه الگوریتم، پروفیل دما روی خط افقی گذرنده از مرکز برای حالت A در شکل (۱۰) نشان داده شده است. بر اساس نمودار نشان داده در این شکل، تطابق پروفیل دمای حاصل از سه الگوریتم کاملاً واضح به نظر می رسد. همچنین، از آنجایی که حالت A شامل دو نوع همبستگی قوی است بنابراین، بحرانی ترین حالت در نظر گرفته شده و از بررسی حالت B تا D صرف نظر می گردد. شکل (۱۱)، مقایسه ای از زمان محاسباتی برای سه الگوریتم مورد بحث جهت حل مسئله اخیر را نشان می دهد. همانند رفتاری که در شکل (۷) ملاحظه شد در اینجا نیز هموار الگوریتم هم زمان هزینه محاسباتی کمتری را نتیجه می دهد. به علاوه، برای حالت B، استفاده از حلقه جداگانه سرعت همگرایی را تا حدود ۶ برابر افزایش داده است؛ بنابراین می توان الگوریتم های مورد نظر را به لحاظ بازده محاسباتی به صورت زیر دسته بندی نمود:

$$\text{SIPM-M} > \text{SIPM-SP} > \text{SIPM-IP}$$

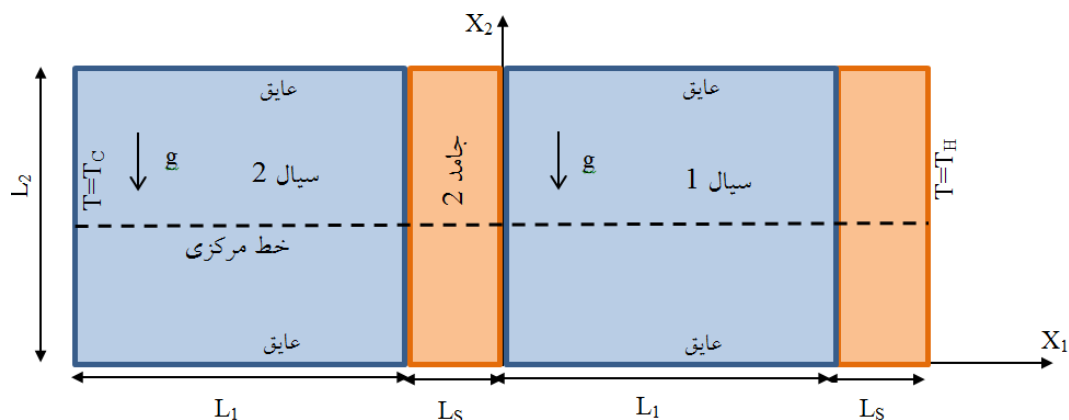
که همبستگی نوع اوّل ضعیف است (عدد گراف کم) هزینه های محاسباتی برای الگوریتم های مجزا و همزمان می توانند به هم نزدیک تر می شود. همچنین در حالتی که هر دو همبستگی از نوع ضعیف باشند دو الگوریتم مذکور تفاوت چندانی در بازده محاسباتی ندارند.



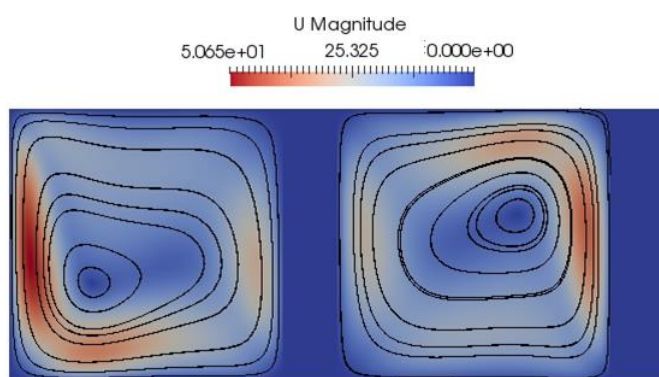
شکل (۷): زمان محاسباتی صرف شده برای هر سه حلگر در چهار حالت جدول ۲

دو ناحیه سیال - دو ناحیه جامد

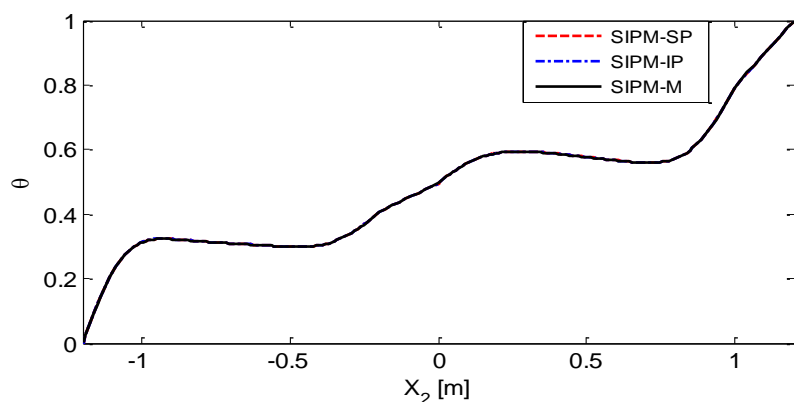
به منظور بررسی بیشتر، مسئله مورد بحث به حالتی شامل نواحی بیشتر سیال و جامد، همانند شکل (۸)،



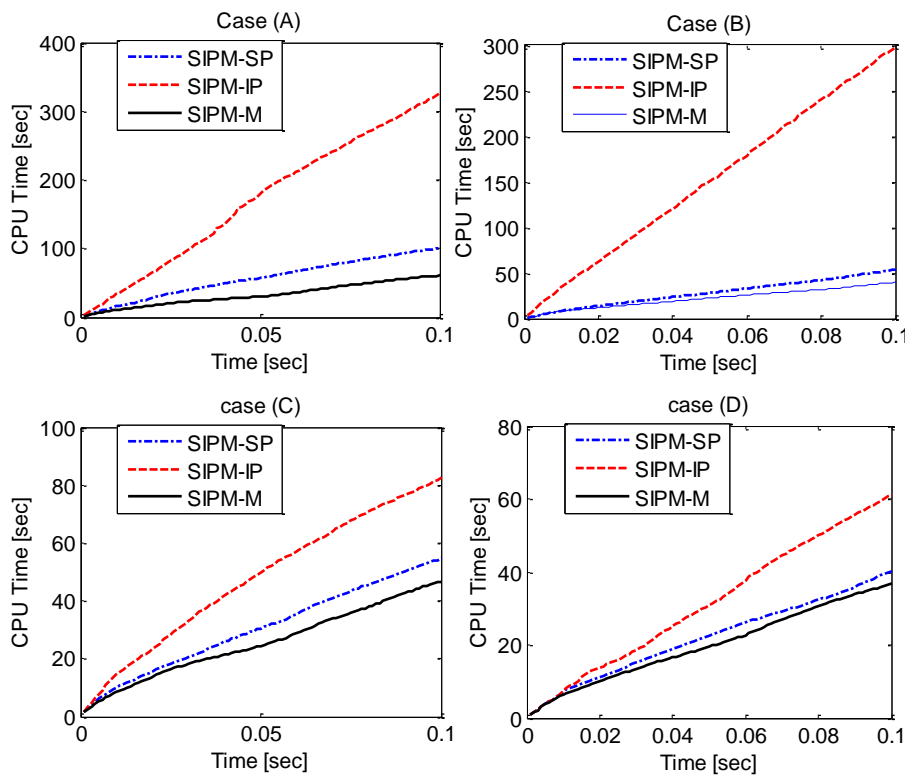
شکل «۸»: شماتیک مسئله چند ناحیه‌ای جابجایی آزاد مجاور دیواره عمودی



شکل «۹»: نتایج پروفیل دما حاصل از سه حلگر برای حالت A



شکل «۱۰»: کانتور سرعت و خطوط جریان برای حالت A



شکل «۹»: زمان محاسباتی مسئله چند ناحیه‌ای در ۴ حالت توسط سه حلگر

می‌تواند تعداد دفعات لازم جهت اعمال دقیق و پرهزینه C_0 را کاهش دهد. از طرف دیگر، در قیاس با تضمین C_0 ، حل معادلات انرژی به دلیل رفتار نسبتاً خطی، هزینه محاسباتی پایینی دارد. در نتیجه، با توجه به اینکه پرداختن هزینه محاسباتی کوچک تضمین C_2 ، از تحمیل تعداد دفعاتی که الگوریتم باید هزینه محاسباتی بالای اعمال C_0 را پردازد، جلوگیری می‌کند، استفاده از حلقة جداگانه برای اعمال همبستگی بین معادلات انرژی در نواحی سیال و جامد، کارایی الگوریتم‌های CHT در حل مسائل با همبستگی قوی را افزایش می‌دهد.

از طرف دیگر مقایسه روش‌های حل هم‌زمان و مجزا، این واقعیت را نشان می‌دهد که روش حل هم‌زمان معادلات انرژی سیال و جامد، هزینه محاسباتی پایین‌تری دارد و این امر بخصوص در مسائلی با همبستگی C_2 قوی، مشهود است. با این وجود،

نتایج بدست آمده از حل مسائل بالا که برای همبستگی قوی و ضعیف و همچنین حالت‌های چند ناحیه‌ای صورت گرفت نشان می‌دهد که استفاده از یک حلقة مشترک جهت اعمال همبستگی‌های C_1 و C_2 می‌تواند هزینه محاسباتی را نسبت به الگوریتم‌های دیگر تا حد زیادی (حدود ۶ برابر) افزایش دهد؛ بنابراین، الگوریتم بکار گرفته شده در حلگرهای multiRegionSimpleFoam و multiRegionHeatFoam که از یک حلقة مشترک جهت اعمال همبستگی‌های مذکور استفاده می‌کنند بازده محاسباتی دارند و با اضافه کردن یک حلقة داخلی، می‌توان سرعت همگرایی آنها را تا حد زیادی افزایش داد. علت بازده پایین روش حلقة مشترک را می‌توان در این حقیقت یافت که تضمین C_0 برای سیال، پرهزینه‌ترین بخش الگوریتم‌های مورد نظر است و لذا حل دقیق دما در هر تکرار از حلقة بیرونی، با توجه به همبستگی نوع C_1 .

افزایش می دهد. لذا، حلگرهای مجزای OpenFOAM در مسائل CHT و multiRegionHeatFoam، با توجه به عدم استفاده از حلقة داخلی جهت تضمین همبستگی انرژی- انرژی، بازده محاسباتی پایینی دارند؛ بنابراین، برای مسائل با همبستگی بالا، توصیه می شود حلگرهای مربوطه مطابق الگوریتم SIPM-SP اصلاح شوند.

همان طور که از شکل های (۷ و ۱۱) (نمودارهای A و B) نمایان است، برای مسائلی با همبستگی قوی، تفاوت هزینه محاسباتی ایجاد شده بین حل همزمان و مجزا، به اندازه تفاوت استفاده از حالت حلقة مشترک و مجزا نیست و موضوع دوم، در درجه اول اهمیت قرار دارد.

واژه نامه

Strong coupling	همبستگی قوی
Weak coupling	همبستگی ضعیف
Monolithic approach	دیدگاه حل همزمان
Partitioned approach	دیدگاه حل مجزا
Conjugate heat transfer	انتقال حرارت سیال- جامد
Convergence rate	نرخ همگرایی
Multi-region	چندناحیه ای
Numerical solution	حل عددی
Integrated loop method	روش حلقه مشارک
Separate loop method	روش حلقه جداگانه
Conduction heat transfer	انتقال حرارت هدایت
Convection heat transfer	انتقال حرارت جابجایی
Governing equations	معادلات حاکم
Interface	مرز مشترک
Computational cost	هزینه محاسباتی
Thermal interaction	اندرکنش حرارتی
Finite volume method	روش گستته سازی حجم محدود

نتیجه گیری

در این تحقیق، سه نوع حلگر عددی در زمینه اندرکنش حرارتی سیال- جامد بر اساس نحوه اعمال همبستگی بین معادلات، مورد بررسی و مقایسه قرار گرفت. همبستگی های مورد نظر، شامل همبستگی سرعت- فشار و ممتومن- انرژی در سیال و انرژی- انرژی در مرز مشترک سیال- جامد است. ویژگی مشترک الگوریتم های بررسی شده، استفاده از روش PISO محدود جهت گستته سازی، روش PISO جهت اعمال همبستگی سرعت- فشار، و اعمال قوی سه نوع همبستگی مذکور است. نتایج این مطالعه را می توان به صورت زیر بیان کرد:

- حل عددی مسائل اندرکنش حرارتی سیال- جامد، نیازمند توجهی ویژه به ارتباط بین معادلات است بخصوص زمانی که درجه همبستگی آنها از نوع قوی باشد.
- سه الگوریتم ارائه شده قادر به حل دقیق مسائل CHT هستند.
- حل همزمان معادله انرژی در تمام نواحی سیال و جامد، منجر به بازده محاسباتی بالا خواهد شد.
- مقایسه نتایج حاصل از دو نوع الگوریتم مجزا نشان می دهد که استفاده از حلقاتی جداگانه برای دو نوع همبستگی، سرعت همگرایی را تا حد زیادی

مراجع

1. Pozzi, A. and Tognaccini, R., "Time singularities in conjugated thermo-fluid-dynamic phenomena", *Journal of Fluid Mechanics*, Vol. 538, pp. 361-376, (2005).
2. Pozzi, A. and Tognaccini, R., "Coupling of conduction and convection past an impulsively started semi-infinite flat plate", *International Journal of Heat and Mass Transfer*, Vol. 43, pp. 1121-1131, (2000).
3. Fourcher, B. and Mansouri, K., "An approximate analytical solution to the Graetz problem with periodic inlet temperature", *International Journal of Heat and Fluid Flow*, Vol. 18, pp. 229-235, (1997).
4. Ismail, K. and Henriquez, J., "Two-dimensional model for the double glass naturally ventilated window", *International Journal of Heat and Mass Transfer*, Vol. 48, pp. 461-475, (2005).
5. Gunes, H., "Low-order dynamical models of thermal convection in high-aspect ratio enclosures", *Fluid Dynamics Research*, Vol. 30, pp. 1-30, (2002).
6. Park, S. and Lee, C., "Analysis of coherent structures in Rayleigh–Bénard convection", *Journal of Turbulence*, Vol. 16, pp. 1162-1178, (2015).
7. Moretti, R., Errera, M.-P., Couaillier, V. and Feyel, F., "Stability, convergence and optimization of interface treatments in weak and strong thermal fluid-structure interaction", *International Journal of Thermal Sciences*, Vol. 126, pp. 23-37, (2018).
8. Felippa, C. and Park, K., "Staggered transient analysis procedures for coupled mechanical systems: formulation", *Computer Methods in Applied Mechanics and Engineering*, Vol. 24, pp. 61-111, (1980).
9. Le Tallec, P., "Domain decomposition methods in computational mechanics", *Computational Mechanics Advances*, Vol. 1, pp. 121-220, (1994).
10. Piperno, S., Farhat, C. and Larrouтуrou, B., "Partitioned procedures for the transient solution of coupled aeroelastic problems Part I: Model problem, theory and two-dimensional application", *Computer Methods in Applied Mechanics and Engineering*, Vol. 124, pp. 79-112, (1995).
11. Pan, X., Kim, K., Lee, C. and Choi, J.-I., "A decoupled monolithic projection method for natural convection problems", *Journal of Computational Physics*, Vol. 314, pp. 160-166, (2016).
12. Pan, X., Lee, C. and Choi, J.-I., "Efficient monolithic projection method for time-dependent conjugate heat transfer problems", *Journal of Computational Physics*, Vol. 369, pp. 191-208, (2018).
13. Radenac, E., Gressier, J. and Millan, P., "Methodology of numerical coupling for transient conjugate heat transfer", *Computers & Fluids*, Vol. 100, pp. 95-107, (2014).
14. Meng, F., Banks, J.W., Henshaw, W.D. and Schwendeman, D.W., "A stable and accurate partitioned algorithm for conjugate heat transfer", *Journal of Computational Physics*, Vol. 344, pp. 51-85, (2017).
15. Errera, M.-P. and Duchaine, F., "Comparative study of coupling coefficients in dirichlet–robin procedure for fluid–structure aerothermal simulations", *Journal of Computational Physics*, Vol. 312, pp. 218-234, (2016).
16. Scholl, S., Janssens, B. and Verstraete, T., "Stability of static conjugate heat transfer coupling approaches using Robin interface conditions", *Computers & Fluids*, Vol. 172, pp. 209-225, (2018).

-
17. Versteeg, H.K. and Malalasekera, W., "An introduction to computational fluid dynamics: the finite volume method", Pearson Education, (2007).
 18. Van der Heul, D.R., Vuik, C. and Wesseling, P., "A conservative pressure-correction method for flow at all speeds", *Computers & Fluids*, Vol. 32, pp. 1113-1132, (2003).
 19. Uročić, T. and Jasak, H., "Block-selective algebraic multigrid for implicitly coupled pressure-velocity system", *Computers & Fluids*, Vol. 167, pp. 100-110, (2018).
 20. Jasak, H., Jemcov, A. and Tukovic, Z., "OpenFOAM: A C++ library for complex physics simulations, International workshop on coupled methods in numerical dynamics", IUC Dubrovnik Croatia, pp. 1-20, (2007).
 21. Konle, M., AG, M.A.E., de Guillebon, L. and Cottier, F., "Multi-Physics Simulations of an Aero Engine Combustor with OpenFoam", *Proceedings of 1st Global Power and Propulsion Forum*, GPPF-2017-0045, Zurich, (2017).
 22. el Abbassia, M., Lahaye, D. and Vuik, C., "Modelling turbulent combustion coupled with conjugate heat transfer in openfoam", *Conference: Tenth Mediterranean Combustion Symposium*, (2017)
 23. Issa, R.I., "Solution of the implicitly discretised fluid flow equations by operator-splitting", *Journal of Computational Physics*, Vol. 62, pp.40-65, (1986).
 24. Kazemi-Kamyab, V., Van Zuijlen, A. and Bijl, H., "Accuracy and stability analysis of a second-order time-accurate loosely coupled partitioned algorithm for transient conjugate heat transfer problems", *International Journal for Numerical Methods in Fluids*, Vol. 74, pp. 113-133, (2014).
 25. Kazemi-Kamyab, V., Van Zuijlen, A. and Bijl, H., "Analysis and application of high order implicit Runge–Kutta schemes for unsteady conjugate heat transfer: A strongly-coupled approach", *Journal of Computational Physics*, Vol. 272, pp. 471-486, (2014).